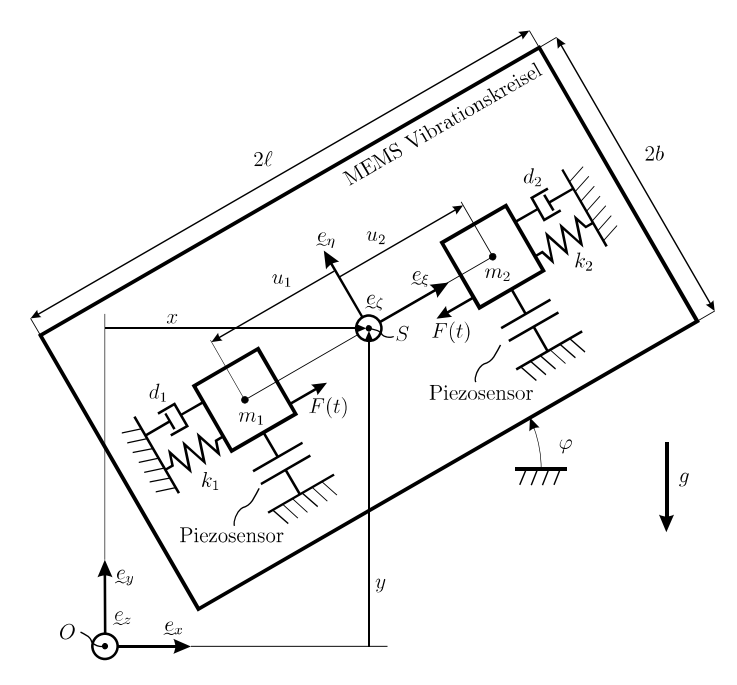
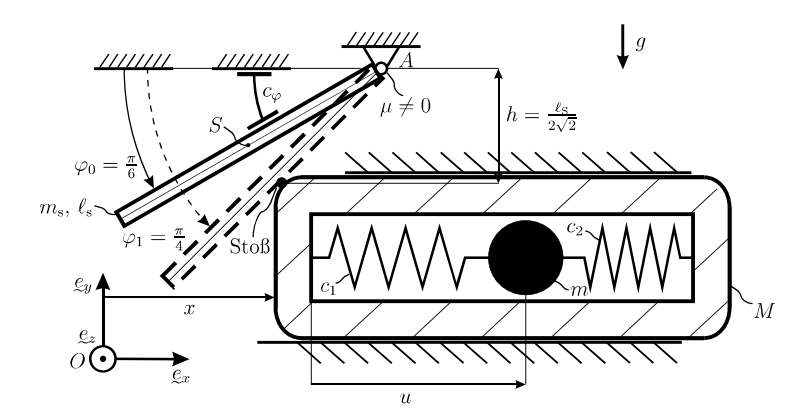
# Aufgabe 1



Ein MEMS (micro-electro-mechanical systems) Vibrationskreisel zur Messung der Winkelgeschwindigkeit  $\dot{\varphi}$  um die  $\underline{e}_z$  Achse wird durch ein vereinfachtes Ersatzmodell untersucht. Auf dem MEMS-Sensor sind zwei Prüfmassen  $m_1=m_2=m$  angebracht, die jeweils durch eine Kraft F(t) zur gegenphasigen Vibration in  $\underline{e}_{\xi}$  Richtung angeregt werden, d.h. für die Relativgeschwindigkeiten der beiden Prüfmassen bezüglich des Sensorgehäuses gilt stets der Zusammenhang:  $\underline{v}_{1rel}=-\underline{v}_{2rel}$ . Die Prüfmassen werden in  $\underline{e}_{\eta}$  Richtung durch zwei Piezosensoren unverschieblich abgestützt, und in  $\underline{e}_{\xi}$  Richtung über Federn und Dämpfer mit dem Sensorrahmen (Länge  $2\ell$ , Breite 2b) verbunden. Die Federn sind für  $u_1=0$ ,  $u_2=0$  entspannt. Durch zwei Piezosensoren, die keine Reibung in  $\underline{e}_{\xi}$  auf die Prüfmassen erzeugen, werden die Reaktionskräfte  $Z_1$  und  $Z_2$  in  $\underline{e}_{\eta}$  Richtung zwischen den Prüfmassen und dem Sensorgehäuse gemessen.

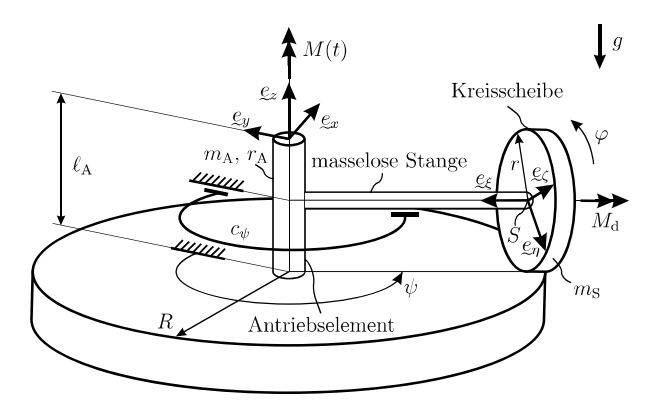
Das  $\{\underline{e}_x,\underline{e}_y,\underline{e}_z\}$ -System ist ein Inertialsystem. Auf dem Schwerpunkt S in der Mitte des Sensors befindet sich der Ursprung des körperfesten  $\{\underline{e}_\xi,\underline{e}_\eta,\underline{e}_\zeta\}$ -Relativsystems. Die Orientierung des Sensorrahmens wird durch den Winkel  $\varphi$  beschrieben. Die Koordinaten  $\{x,y\}$  beschreiben die absolute Position des Schwerpunkts S. Die Erdbeschleunigung g wirkt in negative  $\underline{e}_y$  Richtung.

### Aufgabe 2



Innerhalb eines Rohres (Masse M) befindet sich ein Massenpunkt (Masse m), der über zwei Federn (Federkonstante  $c_1=c_2=c$ , entspannt bei  $u=u_0$ ) mit dem Rohr verbunden ist. In der Höhe  $h=\frac{\ell_s}{2\sqrt{2}}$  wird ein homogener Stab (Masse  $m_s$ , Länge  $\ell_s$ ) aufgehängt. Auf den Stab wirkt eine Torsionsfeder (Federkonstante  $c_\varphi$ , entspannt bei  $\varphi=0$ ). Die Reibung im Drehgelenk A wird durch ein konstantes Reibmoment  $M_\mu$  modelliert. Der Stab fällt aus der Ruhe bei der Position  $\varphi_0=\frac{\pi}{6}$  und stößt gegen das Rohr bei  $\varphi_1=\frac{\pi}{4}$  (die Stoßzahl  $\varepsilon$  beträgt 0.5). Vor dem Stoß befinden sich das Rohr und der Massenpunkt in Ruhe.

Das  $\{\xi_x, \xi_y, \xi_z\}$ -System ist ein Inertialsystem. Die Erdbeschleunigung g wirkt in negative  $\xi_y$  Richtung. Die Koordinate u beschreibt die relative Verschiebung des Massenpunktes innerhalb des Rohrs. Die Verdrehung des Stabes wird durch die Koordinate  $\varphi$  beschrieben. Die Reibung zwischen dem Massenpunkt und dem Rohr bzw. zwischen dem Rohr und dem Boden ist zu vernachlässigen.

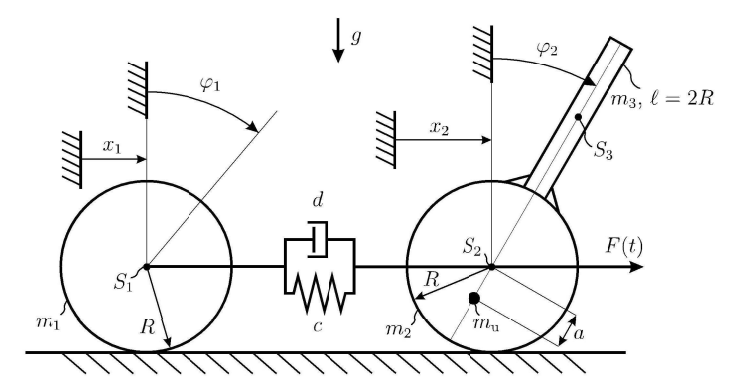


Die Dynamik einer Stein- oder Ölmühle soll untersucht werden. Der Mühlstein wird modelliert durch eine homogene, dünne Kreisscheibe (Masse  $m_{\rm S}$ , Radius r, Dicke vernachlässigbar), die auf einer Kreisbahn mit dem Radius R abrollt. Die Kreisscheibe ist über eine masselose Stange mit dem Antriebselement verbunden, auf welches das Antriebsmoment M(t) wirkt. Das Antriebselement ist als ein homogener Zylinder mit der Masse  $m_{\rm A}$ , dem Radius  $r_{\rm A}$  und der Länge  $\ell_{\rm A}$  zu modellieren. Die Mühle ist über ein Gummiband fixiert, welches als eine Torsionsfeder (Federkonstante  $c_{\psi}$ , entspannt bei  $\psi=0$ ) zwischen der Stange und der Umgebung modelliert wird. Aufgrund der Verluste wirkt ein Widerstandsmoment  $M_{\rm d}=-d\dot{\varphi} \underline{e}_{\xi}$ , das proportional zur Winkelgeschwindigkeit  $\dot{\varphi}$  ist, auf die Kreisscheibe.

Das  $\{\xi_x, \xi_y, \xi_z\}$ -System ist das Inertialsystem. Das mitdrehende  $\{\xi_\xi, \xi_\eta, \xi_\xi\}$ -Koordinatensystem ist ein Hauptachsensystem der Kreisscheibe. Die Koordinate  $\psi$  beschreibt die Verdrehung der horizontalen Stange,  $\varphi$  beschreibt die Verdrehung der Scheibe bezüglich der Stange. Es gelte  $\psi=0$  bei  $\varphi=0$ . Die Erdbeschleunigung g wirkt in negative  $\underline{\epsilon}_z$  Richtung.

Name: Matrikelnummer: 4

## Aufgabe 4



Auf dem Untergrund rollen zwei homogene Kreisscheiben  $m_1$  und  $m_2$  ab, die über ein Feder-Dämpfer-Element miteinander verbunden sind (Federkonstante c, Dämpfungskonstante d). Die Feder ist bei  $x_1=x_2=0$ ,  $\varphi_1=\varphi_2=0$  entspannt. Ein homogener starrer Stab (Schwerpunkt  $S_3$ , Masse  $m_3$ , Länge  $\ell=2R$ ) wird auf der Kreisscheibe  $m_2$  fest angeschweißt, auf der sich eine weitere Unwucht (Masse  $m_{\rm u}$ ) im Abstand von a befindet. Die Kreisscheibe  $m_2$  wird durch eine Kraft  $F(t)=\bar{F}\sin(t)$  zu Schwingungen angeregt. Das System befindet sich unter dem Einfluss der Erdbeschleunigung a.

Die Koordinaten  $x_1$  und  $x_2$  beschreiben die Verschiebungen der beiden Kreisscheiben, deren Verdrehungen durch  $\varphi_1$  und  $\varphi_2$  beschrieben werden.

5

### Aufgabe 1

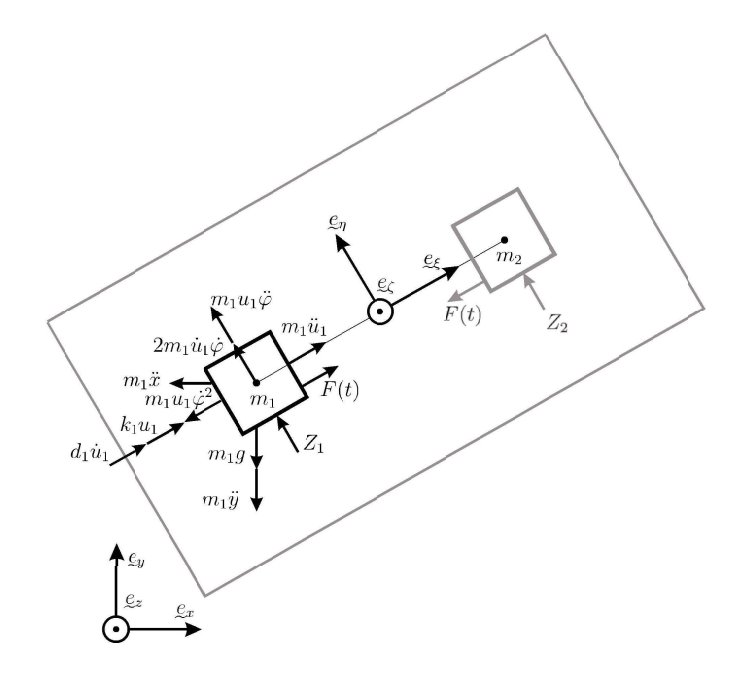
1.1 Bestimmen Sie den Ortsvektor  $\chi_1$  vom Punkt O zu der Prüfmasse  $m_1$  und anschließend die absolute Geschwindigkeit  $\chi_1$ . Geben Sie im Sinne der Relativmechanik alle Geschwindigkeitsanteile  $(\psi_{F\"uhr,T}, \psi_{F\'uhr,R}, \psi_{rel})$  an.

$$\begin{split} & \underbrace{r_1 = x e_x + y e_y + (-u_1 e_\xi)}_{v_1 = \dot{x} e_x + \dot{y} e_y - \dot{u}_1 e_\xi - u_1 \dot{\varphi} e_\eta}_{v_{F\ddot{u}hr}, r = \dot{x} e_x + \dot{y} e_y} \\ & \underbrace{v_{F\ddot{u}hr}, r = \dot{x} e_x + \dot{y} e_y}_{v_{F\ddot{u}hr}, h = -u_1 \dot{\varphi} e_\eta}_{v_{rel} = -\dot{u}_1 e_\xi} \end{split}$$

1.2 Geben Sie die Geschwindigkeit  $y_S$  des Schwerpunkts S an. Bestimmen Sie dann im Sinne der Relativmechanik alle Beschleunigungsanteile ( $a_{F\ddot{u}hr,T}$ ,  $a_{F\ddot{u}hr,R}^{(r)}$ ,  $a_{rel}^{(r)}$ ,  $a_{rel}^{(r)}$ ) der Prüfmasse  $m_1$ .

$$\begin{split} & \underbrace{v_s = \dot{x} e_x + \dot{y} e_y}_{s} \\ & \underbrace{a = \ddot{x} e_x + \ddot{y} e_y - \ddot{u}_1 e_\xi - 2 \dot{u}_1 \dot{\varphi} e_\eta + u_1 \dot{\varphi}^2 e_\xi - u_1 \ddot{\varphi} e_\eta}_{a_F \ddot{u} hr, R} = \ddot{x} e_x + \ddot{y} e_y \\ & \underbrace{a_F \ddot{u} hr, R}_{F \ddot{u} hr, R} = -u_1 \ddot{\varphi} e_\eta \\ & \underbrace{a_F \ddot{u} hr, R}_{F \ddot{u} hr, R} = u_1 \dot{\varphi}^2 e_\xi \\ & \underbrace{a_{rel} = -\ddot{u}_1 e_\xi}_{cor} \\ & \underbrace{a_{cor} = -2 \dot{u}_1 \dot{\varphi} e_\eta}_{cor} \end{split}$$

 $1.3\,$ Schneiden Sie im Prinzip von d'Alembert die Prüfmasse $m_1$ frei, und tragen Sie sämtliche Kräfte einschließlich der Trägheitswirkungen ein.



1.4 Stellen Sie die Kräftebilanzen für die Prüfmasse  $m_1$  in  $\underline{e}_{\xi}$  und  $\underline{e}_{\eta}$  auf.

$$\begin{split} &\inf\underbrace{e_{\xi}}: \quad m_1\ddot{u}_1+k_1u_1+d_1\dot{u}_1-m_1u_1\dot{\varphi}^2-m_1\ddot{x}\cos\varphi-m_1\ddot{y}\sin\varphi\\ &\quad -m_1g\sin\varphi+F(t)=0\\ &\inf\underbrace{e_{\eta}}: \quad m_1u_1\ddot{\varphi}+2m_1\dot{u}_1\dot{\varphi}+Z_1+m_1\ddot{x}\sin\varphi-m_1\ddot{y}\cos\varphi\\ &\quad -m_1g\cos\varphi=0 \end{split}$$

Name: Matrikelnummer: 7

Es wird nun angenommen, dass sich der Sensor mit einer konstanten Winkelgeschwindigkeit  $\dot{\varphi} = \Omega_{\text{konst}}$  um dem fixierten Schwerpunkt S dreht (d.h.  $\ddot{x} = \ddot{y} = 0$ ). Es gelte außerdem  $y_{1rel} = -y_{2rel} = v_{\text{konst}}\xi_{\xi}$  (d.h.  $\dot{u}_1 = \dot{u}_2$ ). Die Zwangskraft  $Z_2 = Z_2\xi_{\eta}$  (siehe Bild in Aufgabe 1.3) ergibt sich in diesem Fall zu:

$$Z_2 = 2m_2\dot{u}_2\Omega_{\text{konst}} + m_2q\cos(\varphi)$$

Im Folgenden soll  $\Omega_{\rm konst}$ durch die gemessenen Reaktionskräfte  $Z_1$  und  $Z_2$  bestimmt werden.

1.5 Bestimmen Sie die Zwangskraft  $Z_1$  und geben Sie die Winkelgeschwindigkeit  $\Omega_{\rm konst}$  in Abhängigkeit der Reaktionskräfte  $Z_1$  und  $Z_2$  an.

$$\begin{split} Z_1 &= m_1 g \cos \varphi - 2 m_1 \dot{u}_1 \Omega_{\text{konst}} \\ Z_1 - Z_2 &= m_1 g \cos \varphi - 2 m_1 \dot{u}_1 \Omega_{\text{konst}} - m_2 g \cos \varphi - 2 m_2 \dot{u}_2 \Omega_{\text{konst}} \\ \text{mit } m_1 &= m_2 = m : \\ \Omega_{\text{konst}} &= \frac{Z_2 - Z_1}{4 m \dot{u}_1} \end{split}$$

 $1.6\,$ Bitte begründen Sie, warum die Erdbeschleunigung gIhre Messung nicht verfälscht.

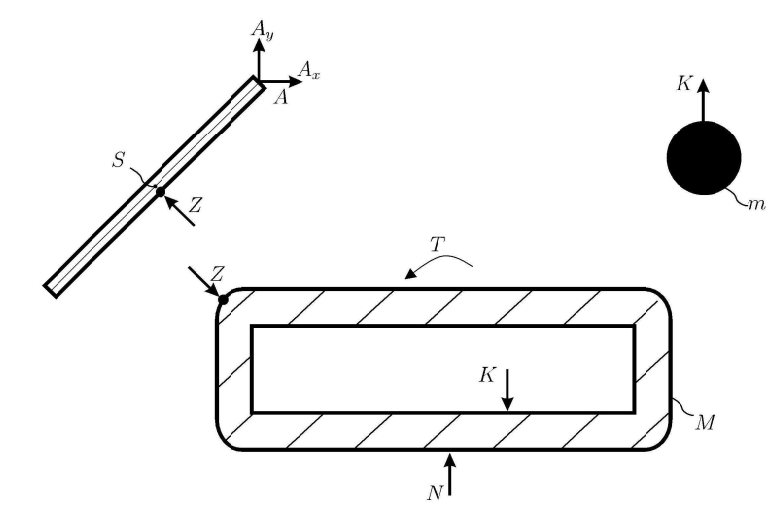
Durch  $Z_1 - Z_2$  wird die Erdbeschleunigung komepensiert.

#### Aufgabe 2

2.1 Berechnen Sie das Massenträgheitsmoment  $J_{\rm A}$  des Stabes bezüglich A, und bestimmen Sie dann mithilfe des Arbeitssatzes die Winkelgeschwindigkeit  $\omega_{\rm S}$  des Stabes unmittelbar vor dem Stoß.

$$\begin{split} J_{\rm A} &= m_S \frac{\ell_S^2}{3} \\ &\frac{1}{2} m_S \frac{\ell_S^2}{3} \omega_S^2 - 0 \quad = \int_{\frac{\pi}{6}}^{\frac{\pi}{4}} \left( -c_\varphi \varphi - M_\mu + m_S g \frac{\ell_S}{2} \cos \varphi \right) \mathrm{d}\varphi \\ &\frac{m_S \ell_S^2}{6} \omega_S^2 \qquad = \left[ -c_\varphi \frac{\varphi^2}{2} - M_\mu \varphi + m_S g \frac{\ell_S}{2} \sin \varphi \right]_{\frac{\pi}{6}}^{\frac{\pi}{4}} \\ &= -\frac{5}{288} c_\varphi \pi^2 - \frac{1}{12} M_\mu \pi + \frac{\sqrt{2} - 1}{4} m_S g \ell_S \\ \omega_S \qquad = \sqrt{\frac{6}{m_S \ell_S^2}} \left( -\frac{5}{288} c_\varphi \pi^2 - \frac{1}{12} M_\mu \pi + \frac{\sqrt{2} - 1}{4} m_S g \ell_S \right) \end{split}$$

2.2 Schneiden Sie den Stab, das Rohr und den Massenpunkt zum Stoßzeitpunkt frei und tragen Sie sämtliche stoßrelevanten Kräfte und Momente in die Skizze ein. (Die stoßende Ecke des Rohres ist abgerundet.)



Die Winkelgeschwindigkeit  $\omega_S=\omega$  des Stabes unmittelbar vor dem Stoß sei bekannt für die weiteren Teilaufgaben.

2.3 Stellen Sie die maßgeblichen Impuls- und Drehimpulsbilanzen für den Stoßvorgang auf, und bestimmen Sie daraus die Geschwindigkeit des Rohrs  $V_{\rm R}$  und die Geschwindigkeit des Massenpunktes  $V_{\rm K}$  in  $\varrho_x$  Richtung unmittelbar nach dem Stoß. Hinweis: In die Stoßzahlgleichung sind die Normalkomponenten der Geschwindigkeit einzusetzen.

Stab: 
$$\int_{t_0}^{t_1} \left( -Z \frac{\ell_S}{2} \right) dt = J_A(\Omega - \omega)$$
Rohr: 
$$\int_{t_0}^{t_1} \left( Z \frac{\sqrt{2}}{2} \right) dt = M(V_R - 0)$$

$$\varepsilon = -\frac{V_R \frac{\sqrt{2}}{2} - \Omega \frac{\ell_S}{2}}{-\omega \frac{\ell_S}{2}} = \frac{1}{2}$$

$$V_R = \frac{3m_S \ell_S}{\sqrt{2} (2m_S + 3M)} \omega$$

$$\Omega = \frac{4m_S - 3M}{4m_S + 6M} \omega$$

$$V_K = 0$$

2.4 Wie groß ist der Energieverlust durch den Stoß? Die Ausdrücke für die Geschwindigkeiten und die Winkelgeschwindigkeit direkt nach dem Stoß sind nicht einzusetzen.

$$\Delta T = \frac{1}{2}M\left(-V_{\rm R}^2\right) + \frac{1}{2}J_{\rm A}\left(-\Omega^2 + \omega^2\right)$$

2.5 Stellen Sie die Bewegungsgleichungen des Rohr-Massenpunkt-Systems nach dem Stoß auf.

$$-M\ddot{x} + (u - u_0)(c_1 + c_2) = 0$$
  
-  $m(\ddot{x} + \ddot{u}) - (u - u_0)(c_1 + c_2) = 0$ 

### Aufgabe 3

3.1 Bestimmen Sie den kinematischen Zusammenhang zwischen  $\psi$  und  $\varphi$ . Drücken Sie  $\psi$  in Abhängigkeit von  $\varphi$  aus.

$$\dot{\psi}R = \dot{\varphi}r$$

$$\psi = \frac{r}{R}\varphi$$

3.2 Bestimmen Sie den Winkelgeschwindigkeitsvektor  ${}^I\omega^S$  der Kreisscheibe im  $\{\xi_{\xi}, \xi_{\eta}, \xi_{\zeta}\}$ -Koordinatensystem.

$$\begin{split} {}^{I}\underline{\omega}^{S} &= \dot{\psi}\underline{e}_{z} + \dot{\varphi}\underline{e}_{\xi} \\ &\text{mit } \underline{e}_{z} = \sin\varphi\underline{e}_{\zeta} - \cos\varphi\underline{e}_{\eta} \\ {}^{I}\underline{\omega}^{S} &= \dot{\varphi}\underline{e}_{\xi} - \dot{\psi}\cos\varphi\underline{e}_{\eta} + \dot{\psi}\sin\varphi\underline{e}_{\zeta} \end{split}$$

3.3 Geben Sie die Matrix  $\Phi^{(S)}$  der Koordinaten des Trägheitstensors der dünnen Kreisscheibe bezüglich des  $\{g_{\xi}, g_{\eta}, g_{\zeta}\}$ -Koordinatensystems an.

$$\Phi^{(S)} = \begin{bmatrix} \frac{1}{2}m_Sr^2 & 0 & 0\\ 0 & \frac{1}{4}m_Sr^2 & 0\\ 0 & 0 & \frac{1}{4}m_Sr^2 \end{bmatrix}$$

3.4 Bestimmen Sie die gesamte kinetische Energie des Systems in Abhängigkeit von  $\varphi$  und  $\dot{\varphi}$ .

$$T = \frac{1}{2} J_{A} \dot{\psi}^{2} + \frac{1}{2} m_{S} V_{S}^{2} + \frac{1}{2} \underbrace{\omega_{S} \cdot I}_{S} \cdot \underbrace{\omega_{S}}_{S}$$

$$= \frac{1}{2} \frac{m_{A} r_{A}^{2}}{2} \frac{r^{2}}{R^{2}} \dot{\varphi}^{2} + \frac{1}{2} m_{S} r^{2} \dot{\varphi}^{2} + \frac{m_{S} r^{2}}{4} \dot{\varphi}^{2} + \frac{1}{2} \frac{m_{S} r^{2}}{4} \dot{\varphi}^{2} \frac{r^{2}}{R^{2}}$$

$$= \dot{\varphi}^{2} \left( \frac{m_{A} r_{A}^{2}}{4} \frac{r^{2}}{R^{2}} + \frac{3}{4} m_{S} r^{2} + \frac{m_{S} r^{4}}{8 R^{2}} \right)$$

 $3.5\,$ Bestimmen Sie die gesamte potentielle Energie des Systems in Abhängigkeit von  $\varphi.$ 

$$V = \frac{1}{2}c_{\psi}\psi^{2} = \frac{1}{2}c_{\psi}\frac{r^{2}}{R^{2}}\varphi^{2}$$

3.6 Bestimmen Sie die virtuelle Arbeit aller nicht im Potential berücksichtigten Kräfte und Momente und geben Sie die generalisierte Kraft  $Q_{\wp}$  an.

$$\delta W = M(t)\delta\psi - d\dot{\varphi}\delta\varphi$$
$$Q_{\varphi} = \frac{r}{R}M(t) - d\dot{\varphi}$$

3.7 Leiten Sie die Bewegungsgleichung des Systems mit Hilfe der Lagrange'schen Gleichungen 2. Art her.

$$L = T - V = \dot{\varphi}^2 \underbrace{\left(\frac{m_A r_A^2}{4} \frac{r^2}{R^2} + \frac{3}{4} m_S r^2 + \frac{m_S r^4}{8R^2}\right)}_{-\Lambda} - \frac{1}{2} c_\psi \frac{r^2}{R^2} \varphi^2$$

$$\begin{split} \frac{\partial L}{\partial \dot{\varphi}} &= 2A\dot{\varphi} \\ \frac{\mathrm{d}}{\mathrm{d}t} \frac{\partial L}{\partial \dot{\varphi}} &= 2A\ddot{\varphi} \\ \frac{\partial L}{\partial \varphi} &= -c_{\psi} \frac{r^2}{R^2} \varphi \\ \frac{\mathrm{d}}{\partial t} \frac{\partial L}{\partial \dot{\varphi}} &- \frac{\partial L}{\partial \varphi} &= Q_{\varphi} \\ 2A\ddot{\varphi} + c_{\psi} \frac{r^2}{R^2} \varphi &= \frac{r}{R} M(t) - d\dot{\varphi} \end{split}$$

13

#### Aufgabe 4

4.1 Wie groß muss der Abstand a bei gegebenem  $m_{\rm u}$  sein, damit der Schwerpunkt der Kreisscheibe  $m_2$  mit Stab und Ausgleichsmasse im Mittelpunkt  $S_2$  liegt?

$$am_u = m_3(R+R)$$
$$a = \frac{m_3}{m_u} 2R$$

4.2 Wie groß ist dann das Massenträgheitsmoment  $\Theta_{S_2}$  des aus  $m_2$ ,  $m_3$  und  $m_{\rm u}$  gebildeten Starrkörpers bezüglich Punkt  $S_2$ ?

$$\Theta_{S_2} = m_u a^2 + \frac{m_2 R^2}{2} + \left(\frac{m_3 \ell^2}{12} + m_3 \left(\frac{\ell}{2} + R\right)^2\right)$$

$$\Theta_{S_2} = 4\frac{m_3^2}{m_u}R^2 + \frac{m_2 R^2}{2} + \frac{m_3 R^2}{3} + 4m_3 R^2$$

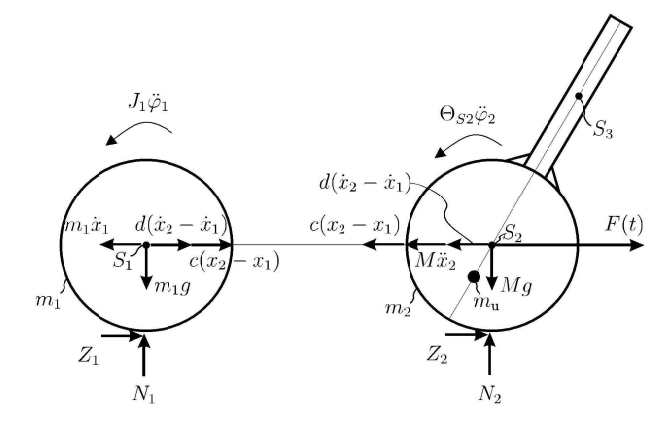
$$\Theta_{S_2} = \left(4\frac{m_3^2}{m_u} + \frac{1}{2}m_2 + \frac{13}{3}m_3\right)R^2$$

4.3 Bestimmen Sie die virtuellen Verrückungen  $\delta x_1$  und  $\delta x_2$  in Abhängigkeit der virtuellen Verdrehungen  $\delta \varphi_1$  und  $\delta \varphi_2$ .

$$\delta x_1 = R\delta\varphi_1$$
$$\delta x_2 = R\delta\varphi_2$$

Im Folgenden muss das Ergebnis von 4.2 <u>nicht</u> eingesetzt werden. Die Gesamtmasse von  $m_2$ ,  $m_3$  und  $m_u$  ist mit M zu bezeichnen. Der Gesamtschwerpunkt von  $m_2$ ,  $m_3$  und  $m_u$  liegt im Punkt  $S_2$ .

4.4 Schneiden Sie das System in der unteren Skizze im Sinne d'Alemberts frei und tragen Sie alle Kräfte und Momente einschließlich der Trägheitswirkungen ein.



4.5 Stellen Sie die virtuelle Arbeit  $\delta W$  des gesamten Systems auf und bestimmen Sie daraus mithilfe des Prinzips von d'Alembert in der Lagrange'schen Fassung die Bewegungsgleichungen des Systems in  $\varphi_1$  und  $\varphi_2$ .

$$\begin{split} \delta W &= -m_1\ddot{x}_1\delta x_1 - J_1\ddot{\varphi}_1\delta \varphi_1 + [d(\dot{x}_2 - \dot{x}_1) + c(x_2 - x_1)]\delta x_1 \\ &- [d(\dot{x}_2 - \dot{x}_1) + c(x_2 - x_1)]\delta x_2 + F\delta x_2 - M\ddot{x}_2\delta x_2 - \Theta_{S_2}\ddot{\varphi}_2\delta \varphi_2 = 0 \end{split}$$
 
$$\text{mit: } \ddot{x}_1 &= R\ddot{\varphi}_1 \quad ; \quad \ddot{x}_2 = R\ddot{\varphi}_2 \quad ; \quad \dot{x}_1 = R\dot{\varphi}_1 \quad ; \quad \dot{x}_2 = R\dot{\varphi}_2 \\ \delta W &= -m_1R\ddot{\varphi}_1R\delta\varphi_1 - \frac{m_1R^2}{2}\ddot{\varphi}_1\delta\varphi_1 + [dR(\dot{\varphi}_2 - \dot{\varphi}_1) + cR(\varphi_2 - \varphi_1)]R\delta\varphi_1 \\ &- [dR(\dot{\varphi}_2 - \dot{\varphi}_1) + cR(\varphi_2 - \varphi_1)]R\delta\varphi_2 + FR\delta\varphi_2 - MR\ddot{\varphi}_2R\delta\varphi_2 - \Theta_{S_2}\ddot{\varphi}_2\delta\varphi_2 \\ \delta W &= \left(-m_1R\ddot{\varphi}_1R - \frac{m_1R^2}{2}\ddot{\varphi}_1 + [dR(\dot{\varphi}_2 - \dot{\varphi}_1) + cR(\varphi_2 - \varphi_1)]R\right)\delta\varphi_1 \\ &+ (-[dR(\dot{\varphi}_2 - \dot{\varphi}_1) + cR(\varphi_2 - \varphi_1)]R + FR - MR\ddot{\varphi}_2R - \Theta_{S_2}\ddot{\varphi}_2)\delta\varphi_2 \\ \delta\varphi_1 &\neq 0: -\frac{3}{2}m_1R^2\ddot{\varphi}_1 + dR^2(\dot{\varphi}_2 - \dot{\varphi}_1) + cR^2(\varphi_2 - \varphi_1) = 0 \\ \delta\varphi_2 &\neq 0: FR - \left(MR^2 + \Theta_{S_2}\right)\ddot{\varphi}_2 - dR^2(\dot{\varphi}_2 - \dot{\varphi}_1) - cR^2(\varphi_2 - \varphi_1) = 0 \end{split}$$

Matrikelnummer: .....

Für die folgenden Teilaufgaben sei die Kreisscheibe  $m_1$  fixiert ( $\varphi_1 = 0$ ). Der Dämpfer zwischen den beiden Kreisscheiben sei im Folgenden zu vernachlässigen. Als Differentialgleichung für die Kreisscheibe  $m_2$  ergibt sich dann:

$$(MR^2 + \Theta_{S_2})\ddot{\varphi}_2 + cR^2\varphi_2 = R\hat{F}\sin(t)$$

4.6 Bestimmen Sie die Eigenkreisfrequenz  $\omega_0$ .

$$\omega_0 = \sqrt{\frac{cR^2}{MR^2 + \Theta_{S_2}}}$$

4.7 Bestimmen Sie eine partikuläre Lösung  $\varphi_{2p}$  der inhomogenen Differentialgleichung für den Fall  $\omega_0 \neq 1$ .

$$\ddot{\varphi}_2 + \underbrace{\frac{cR^2}{MR^2 + \Theta_{S_2}}}_{=\omega_0^2} \varphi_2 = \underbrace{\frac{R\hat{F}}{MR^2 + \Theta_{S_2}}}_{=y_0} \sin(t)$$

Ansatz: 
$$\varphi_p = A \sin(t) \implies \ddot{\varphi}_p = -A \sin(t)$$

$$-A\sin(t) + \omega_0^2 A\sin(t) = y_0\sin(t)$$

$$\Rightarrow (\omega_0^2 - 1)A = y_0$$

$$\Rightarrow \Lambda = \frac{y_0}{(\omega_0^2 - 1)}$$

$$\Rightarrow \Lambda = \frac{y_0}{(\omega_0^2 - 1)}$$

$$\Rightarrow \varphi_p = \frac{R\hat{F}}{cR^2 - MR^2 - \Theta_{S_2}} \sin(t)$$